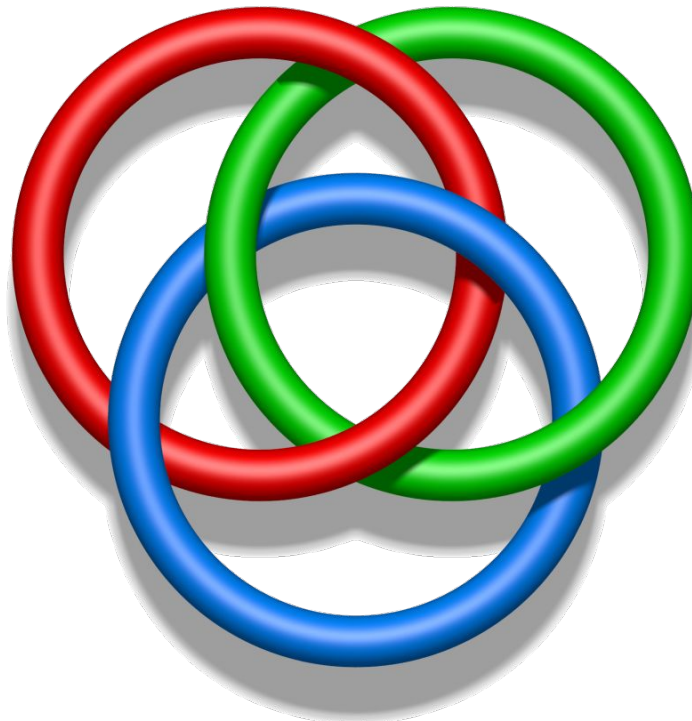


# Universalität in der Kernphysik



TECHNISCHE  
UNIVERSITÄT  
DARMSTADT

Seminar-Vortrag von Thilo Egenolf



[https://upload.wikimedia.org/wikipedia/commons/5/5a/Borromean\\_Rings\\_Illusion.png](https://upload.wikimedia.org/wikipedia/commons/5/5a/Borromean_Rings_Illusion.png)

- Bedeutung von Universalität
  - Allgemeines Beispiel
  - In der Kernphysik
- Theoretische Beschreibung
  - Hypersphärisches Modell
  - Effektive Feldtheorie
- Experimentelle Beispiele
  - Ultrakalte Atome und Feshbach-Resonanz
  - Halo-Kerne

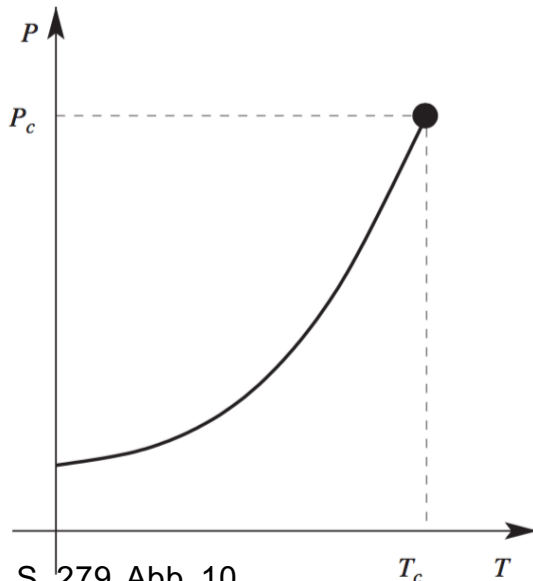
**Wikipedia:** „**Universalität** bezeichnet in der Statistischen Mechanik die Tatsache, dass gewisse Eigenschaften gewisser Klassen von Systemen nicht von allen Systemdetails abhängen: Vertreter einer Universalitätsklasse zeigen quantitativ dasselbe Verhalten (identische universelle Größen), obwohl sie im Detail einen unterschiedlichen Aufbau oder eine unterschiedliche Dynamik aufweisen.“ [1]

**Observable A** nahe eines Phasenübergangs:  $A = A_0 \cdot \|\beta - \beta_c\|^\alpha$

Systemparameter

Kritischer Exponent

Kritischer Punkt



**Übergang flüssig – gasförmig:**

$$\rho_{\text{liq}}(T) - \rho_c \rightarrow +A(T_c - T)^\alpha$$

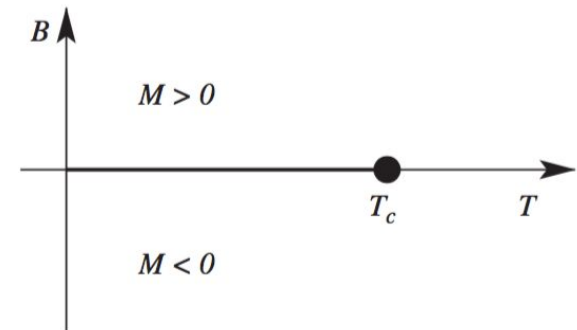
$$\rho_{\text{gas}}(T) - \rho_c \rightarrow -A(T_c - T)^\alpha$$

**Ferromagnetisches Material:**

$$M_0(T) \rightarrow A'(T_c - T)^\alpha$$

**Für beide Systeme:**

$$\alpha = 0,325$$



Betrachtung von Streuung im Grenzfall niedriger Energien, d.h. Energien nahe der Dissoziationsgrenze

- ↳ De Broglie-Wellenlänge  $\lambda = 2\pi\hbar/p$  ist groß gegenüber Reichweite der Wechselwirkungen
- Streuung zweier Teilchen ist bestimmt durch die S-Wellen-Streuung, beschrieben durch die Streulänge  $a$
  - Alle Eigenschaften der Streuung sind in erster Ordnung bestimmt durch einen Parameter – die Streulänge – und unabhängig von der Reichweite  $r_0$  und anderen Details der kurzreichweitigen Wechselwirkung

z.B. gibt es für zwei Teilchen gleicher Masse einen gebundenen Zustand mit Bindungsenergie  $E_D = \hbar^2/m a^2$  und Korrekturen mit der Ordnung  $r_0/a$

➔ **Universalität**

# Zweikörper- und Dreikörper-Zustände

## Bekanntes Beispiel für Zweikörpersystem: Deuteron

- Streuung zweier Nukleons mit unterschiedlichem Isospin
- Zwei Streulängen und effektive Reichweiten für NN-Streuung:
  - $a_s = -23,76$  fm und  $r_s = 2,75$  fm für Isospin-Triplet  $^1S_0$
  - $a_t = 5,42$  fm und  $r_t = 1,76$  fm für Isospin-Singlet  $^3S_1$
- Gebundener Zustand ist Isospin-Singlet  $^3S_1$  mit Bindungsenergie  $E_D = 2,225$  MeV
  - vergleichbar mit universeller Vorgabe  $\hbar^2 / ma_t^2 = 1,4$  MeV

[2], S. 274

## Grenzfall $a \rightarrow \pm\infty$

- Universeller gebundener Zweikörper-Zustand bleibt bei  $E = 0$  bestehen
- Bei **Dreikörper-System** dagegen unendlich viele gebundenen Zustände
  - Häufungspunkt bei  $E = 0$
  - Verhältnis der Bindungsenergien zweier aufeinanderfolgender Zustände ist konstant
    - Diskrete Skalensymmetrie, die zusätzlichen Parameter erfordert
    - Erweiterung des Universalitäts-Begriffs auf zwei Parameter

 **Efimov-Effekt**, 1970 entdeckt von Vitaly Efimov für drei identische Bosonen

# Hypersphärische Koordinaten

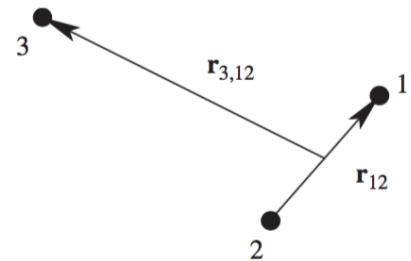
**Schrödinger-Gleichung:** 
$$\left( -\frac{\hbar^2}{2m} \sum_{i=1}^3 \nabla_i^2 + V(\mathbf{r}_1, \mathbf{r}_2, \mathbf{r}_3) \right) \Psi = E\Psi$$

↳ Umformulieren in Abhängigkeit von hypersphärischen Koordinaten

## 1. Schritt: Jacobi-Koordinaten:

Beschreibung der Position der drei Teilchen gleicher Masse zueinander

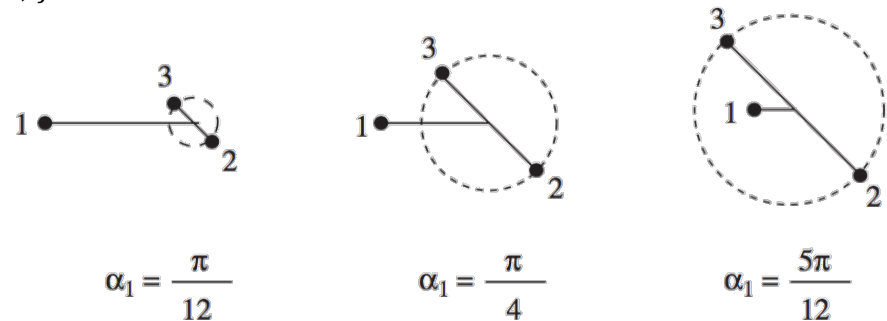
$$\mathbf{r}_{ij} = \mathbf{r}_i - \mathbf{r}_j, \quad \mathbf{r}_{k,ij} = \mathbf{r}_k - \frac{1}{2}(\mathbf{r}_i + \mathbf{r}_j)$$



## 2. Schritt: Hypersphärische Größen:

Hyperradius  $R = \sqrt{\frac{1}{3}(r_{12}^2 + r_{23}^2 + r_{31}^2)} = \sqrt{\frac{1}{2}r_{ij}^2 + \frac{2}{3}r_{k,ij}^2}$

Hyperwinkel  $\alpha_k = \arctan\left(\frac{\sqrt{3}r_{ij}}{2r_{k,ij}}\right)$



➔ **6 unabhängige Koordinaten:**

$R$ ,  $\alpha_k$ , und jeweils zwei Winkel der Einheitsvektoren  $\hat{\mathbf{r}}_{ij}$  und  $\hat{\mathbf{r}}_{k,ij}$  [2], S. 292, Abb. 18 & 19

# Schrödinger-Gleichung



$$\left( T_R + T_{\alpha_k} + \frac{\Lambda_{k,ij}^2}{2mR^2} + V(R, \Omega) \right) \Psi = E\Psi \quad \text{mit}$$

## Potentialansatz:

$$V(R, \Omega) = V(r_{12}) + V(r_{23}) + V(r_{31})$$

## Faddeev-Zerlegung:

$$\Psi(R, \alpha, \Omega) = \Psi(R, \alpha_1) + \Psi(R, \alpha_2) + \Psi(R, \alpha_3)$$

## Niederenergie-Faddeev-Gleichung:

$$(T_R + T_\alpha - E)\Psi(R, \alpha) = -V(\sqrt{2}R\sin\alpha) \left[ \Psi(R, \alpha) + \frac{4}{\sqrt{3}} \int_{|(1/3)\pi-\alpha|}^{(1/2)\pi-|(1/6)\pi-\alpha|} \frac{\sin(2\alpha')}{\sin(2\alpha)} \Psi(R, \alpha') d\alpha' \right]$$

## Entwicklung der Wellenfunktion in Hyperwinkelfunktionen:

$$\Psi(R, \alpha) = \frac{1}{R^{5/2} \sin(2\alpha)} \sum_n f_n(R) \Phi_n(R, \alpha)$$

$$\left\{ \begin{aligned} T_R &= -\frac{\hbar^2}{2m} \left[ \frac{\partial^2}{\partial R^2} + \frac{5}{R} \frac{\partial}{\partial R} \right] \\ T_{\alpha_k} &= -\frac{\hbar^2}{2mR^2} \left[ \frac{\partial^2}{\partial \alpha_k^2} + 4 \cot(2\alpha_k) \frac{\partial}{\partial \alpha_k} \right] \\ \Lambda_{k,ij}^2 &= \frac{L_{ij}^2}{\sin^2 \alpha_k} + \frac{L_{k,ij}^2}{\cos^2 \alpha_k} \end{aligned} \right.$$

# Lösung der Eigenwert-Gleichung



Teilung des Problems und Umformulierung der Niederenergie-Fadeev-Gleichung:

$$\left[ -\frac{\partial^2}{\partial \alpha^2} - \lambda_n(R) \right] \Phi_n(R, \alpha) = -\frac{2mR^2}{\hbar^2} V(\sqrt{2}R \sin \alpha) \left[ \Phi_n(R, \alpha) + \frac{4}{\sqrt{3}} \int_{|(1/3)\pi - \alpha|}^{(1/2)\pi - |(1/6)\pi - \alpha|} \Phi_n(R, \alpha') d\alpha' \right]$$

↳ analytisch lösbar in zwei Grenzfällen:

1.  $R \sin \alpha$  groß gegenüber Potentialreichweite

$$\left[ -\frac{\partial^2}{\partial \alpha^2} - \lambda_n(R) \right] \Phi_n^{(hi)}(R, \alpha) \approx 0 \Rightarrow \Phi_n^{(hi)}(R, \alpha) \approx \sin \left[ \lambda_n^{1/2}(R) \left( \frac{\pi}{2} - \alpha \right) \right]$$

2.  $R \sin \alpha$  klein, so dass  $\lambda_n(R)$  klein gegenüber  $V(\sqrt{2}R \sin \alpha)$ ,  $\alpha \ll 1$

$$\left[ -\frac{\partial^2}{\partial \alpha^2} + \frac{2mR^2}{\hbar^2} V(\sqrt{2}R \alpha) \right] \Phi_n^{(lo)}(R, \alpha) \approx -\frac{2mR^2}{\hbar^2} V(\sqrt{2}R \alpha) \frac{8\alpha}{\sqrt{3}} \Phi_n^{(hi)} \left( R, \frac{\pi}{3} \right)$$

$$\Rightarrow \Phi_n^{(lo)}(R, \alpha) \approx A(R) \Psi_0(\sqrt{2}R \sin \alpha) - \frac{8\alpha}{\sqrt{3}} \Phi_n^{(hi)} \left( R, \frac{\pi}{3} \right)$$

Lösung der Zweikörper-Schrödinger-Gleichung

$$\Psi_0(\sqrt{2}R \sin \alpha) \rightarrow \sqrt{2}R \sin \alpha - a \text{ für } k \rightarrow 0$$

↳ Matching der Lösungen für  $\alpha = 0$ :

$$\Rightarrow A(R) = -\sin \left[ \lambda_n^{1/2}(R) \frac{\pi}{2} \right] \frac{1}{a}$$

$$\Rightarrow \cos \left( \lambda_n^{1/2}(R) \frac{\pi}{2} \right) - \frac{8}{\sqrt{3}} \lambda_n^{-1/2} \sin \left( \lambda_n^{1/2}(R) \frac{\pi}{6} \right) \xrightarrow{\alpha \rightarrow \pm \infty} 0$$

# Lösung der Eigenwert-Gleichung

Einzige negative numerische Lösung:

$$\lambda_0(R) \xrightarrow{\alpha \rightarrow \pm\infty} -s_0^2, \text{ mit } s_0 = 1,00624 \dots$$

↳ Nur für diesen Eigenwert ist das Potential in der hyperradialen Gleichung attraktiv

$$V_0(R) = (\lambda_0(R) - 4) \frac{\hbar^2}{2mR^2} \rightarrow -(s_0^2 + 4) \frac{\hbar^2}{2mR^2}$$

↳ Die hyperradiale Gleichung lautet damit

$$\frac{\hbar^2}{2m} \left( -\frac{\partial^2}{\partial R^2} - \frac{s_0^2 + \frac{1}{4}}{R^2} \right) f_0(R) = E f_0(R)$$

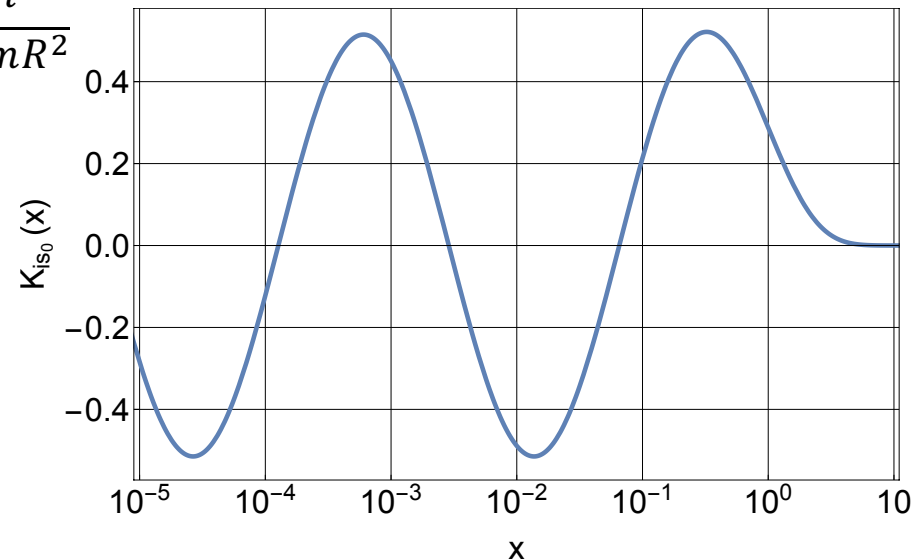
mit der Lösung  $f_0(R) = R^{1/2} K_{is_0}(\sqrt{2\kappa}R)$

$$\text{mit } \kappa = \sqrt{\frac{|E|m}{\hbar^2}}$$

Potential ist für  $R \rightarrow 0$  nicht begrenzt

↳ Zusätzliche Informationen über kurzreichweitiges Verhalten sind notwendig

↳ Logarithmische Ableitung  $\frac{R_0 f_0'(R_0)}{f_0(R_0)}$  wird für kleinen Hyperradius  $R_0 > 0$  festgelegt



# Efimov-Spektrum

➔ Gebundene Zustände mit Bindungsenergie  $E_T^{(n)} = \left(e^{-2\pi/s_0}\right)^{n-n_*} \frac{\hbar^2 \kappa_*^2}{m}$

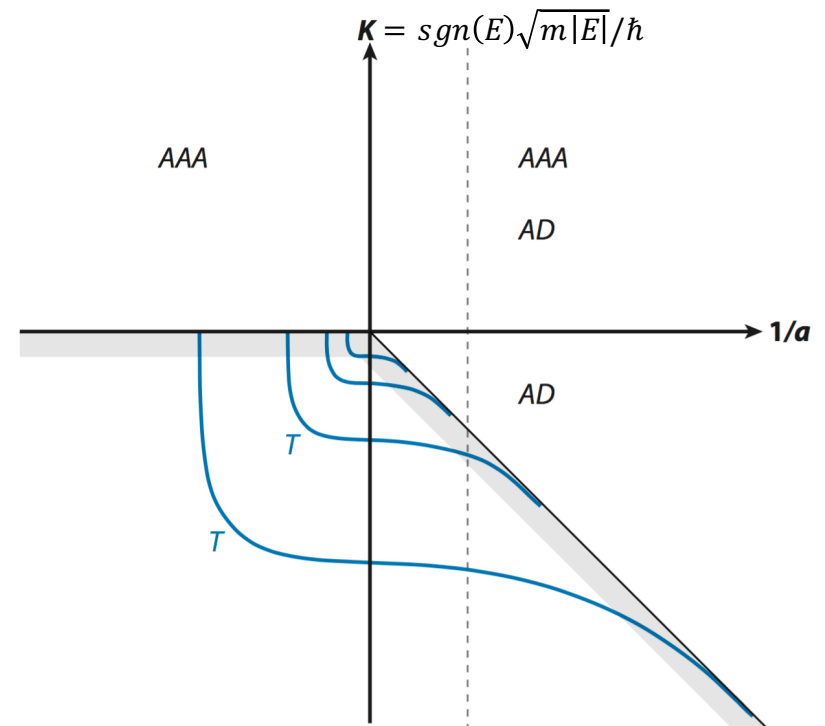
➔ Diskrete Skalensymmetrie mit Skalenkonstante  $\lambda = e^{\pi/s_0} \approx 22,7$

↳  $E_T^{(n)} = \lambda^{-2} E_T^{(n-1)}$  für  $a \rightarrow \pm\infty$

↳ Gilt auch für endliche Streulängen bis auf Korrekturen der Ordnung  $(r_0/a)^2$

↳ Die Streulänge skaliert ebenfalls mit  $\lambda$

↳ Andere Observablen zeigen auch die diskrete Skalensymmetrie, z.B. der Atom-Dimer-Wirkungsquerschnitt:  
 $\sigma_{AD}(\lambda^{-2m}E, \lambda^m a, \kappa_*) = \lambda^{2m} \sigma_{AD}(E, a, \kappa_*)$



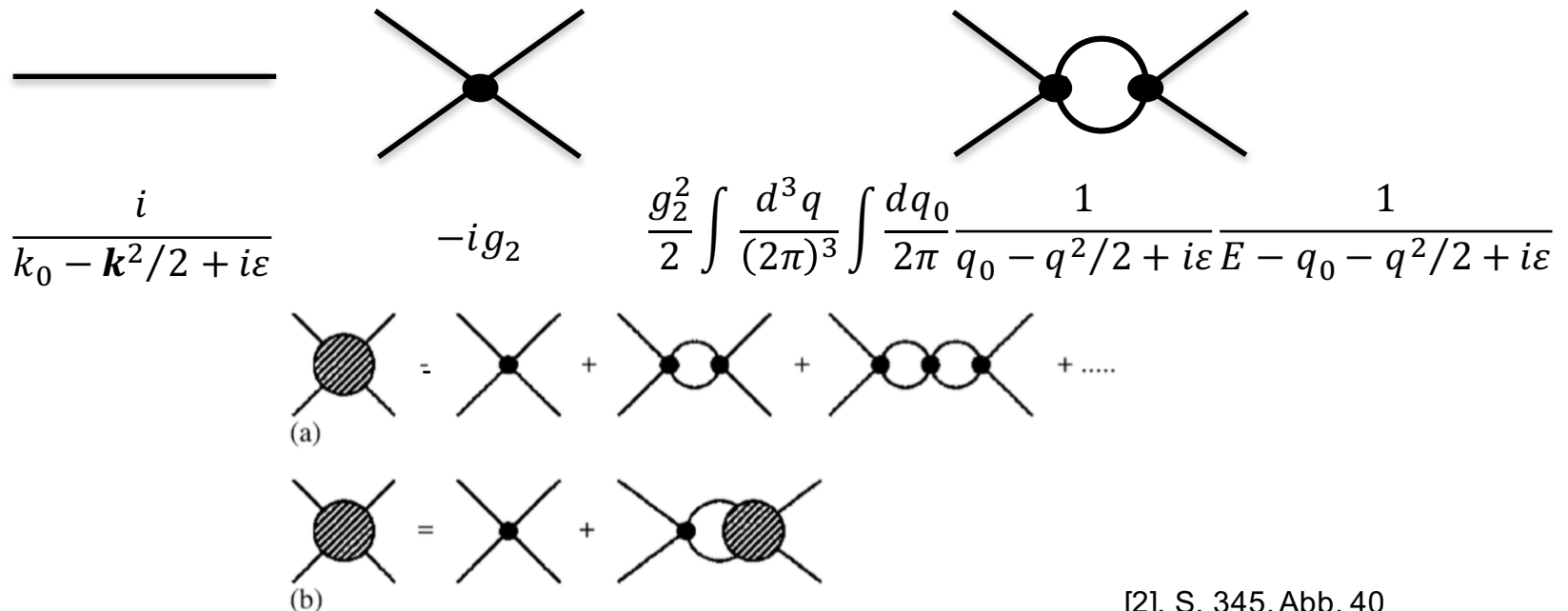
[3], S. 213, Abb. 1

# Effektive Feldtheorie: Zweikörper-Problem

Lagrange-Dichte:  $\mathcal{L} = \psi^\dagger \left( i \frac{\partial}{\partial t} + \frac{1}{2} \nabla^2 \right) \psi - \frac{g_2}{4} (\psi^\dagger \psi)^2$ ,  $\hbar = 1$ ,  $m = 1$

↳ Physikalische Informationen in  $\langle 0 | T(\psi \psi \psi^\dagger \psi^\dagger) | 0 \rangle$  im Ortsraum

↳ Feynman-Amplitude  $i\mathcal{A}$  im Impulsraum, berechenbar mit Feynman-Diagrammen

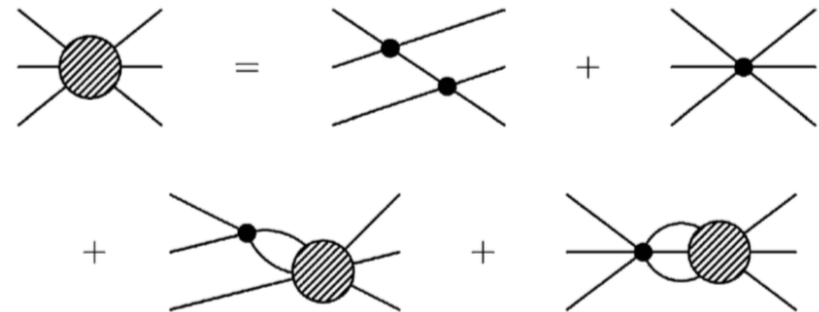


[2], S. 345, Abb. 40

# Effektive Feldtheorie: Dreikörper-Problem

Lagrange-Dichte:  $\mathcal{L} = \psi^\dagger \left( i \frac{\partial}{\partial t} + \frac{1}{2} \nabla^2 \right) \psi - \frac{g_2}{4} (\psi^\dagger \psi)^2 - \frac{g_3}{36} (\psi^\dagger \psi)^3$

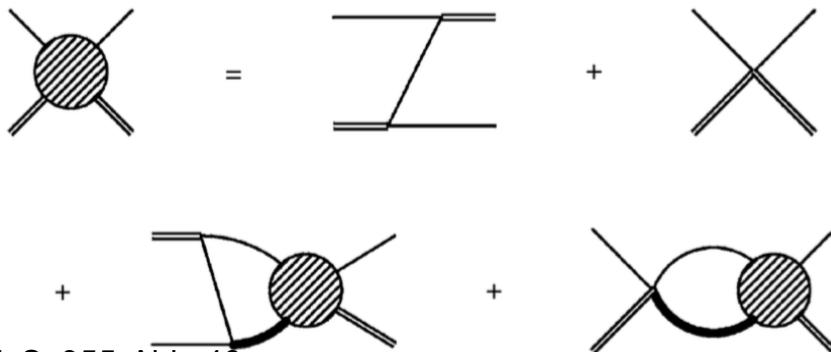
↳ Lösbar in Störungsrechnung ...  
oder als Integral-Gleichung:  
durch hohe Anzahl an Variablen  
aber nicht effizient



[2], S. 350, Abb. 44

↳ Stattdessen Lagrange-Dichte mit Diatom-Operator

$$\mathcal{L} = \psi^\dagger \left( i \frac{\partial}{\partial t} + \frac{1}{2} \nabla^2 \right) \psi + \frac{g_2}{4} d^\dagger d - \frac{g_2}{4} (d^\dagger \psi^2 + \psi^{\dagger 2} d) - \frac{g_3}{36} d^\dagger d \psi^\dagger \psi$$



[2], S. 355, Abb. 48

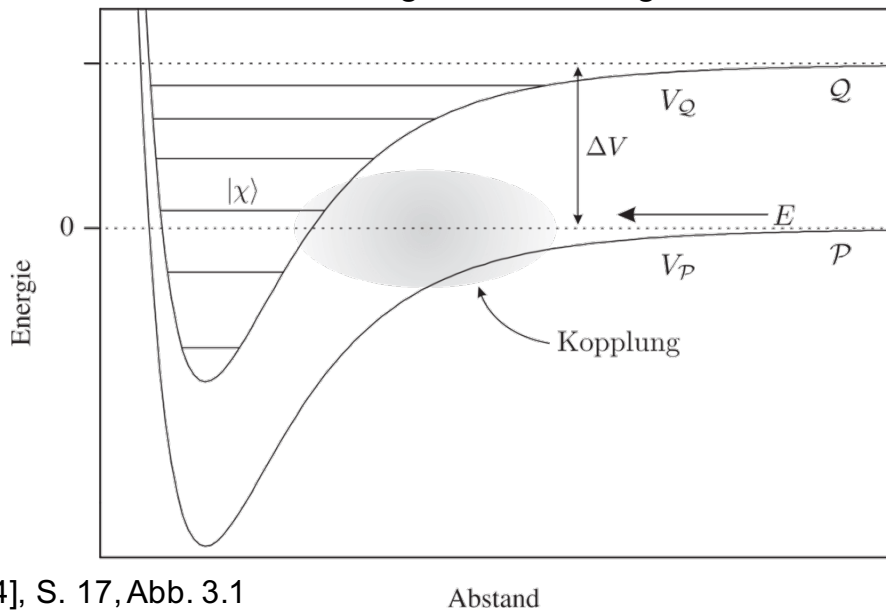
- Ergebnisse des Zweikörper-Problems wiederverwendbar
- Universelle Dreikörper-Eigenschaften sind aus Feynman-Amplitude reproduzierbar
- Weitere universelle Größen erklärbar

# Ultrakalte Atome: Feshbach-Resonanz

**Ziel:** Variation der Streulänge

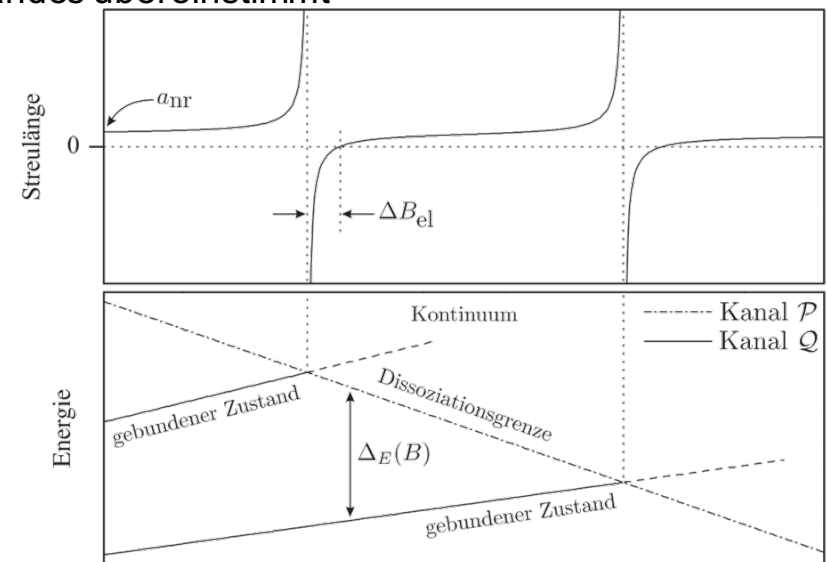
↳ möglich durch **Feshbach-Resonanzen** von ultrakalten Atomen:

- Betrachtung von Mischzuständen aus gebundenem und ungebundenem Zustand unterschiedlicher Spinkonfigurationen
- Zeeman-Effekt: Veränderung der Lage gebundener Hyperfeinzustände relativ zur Stoßenergie durch ein externes Magnetfeld
- Streulänge divergiert, wenn die Energie des gebundenen Zustandes mit der Dissoziationsgrenze des ungebundenen Zustandes übereinstimmt



[4], S. 17, Abb. 3.1

Abstand



[4], S. 18, Abb. 3.2

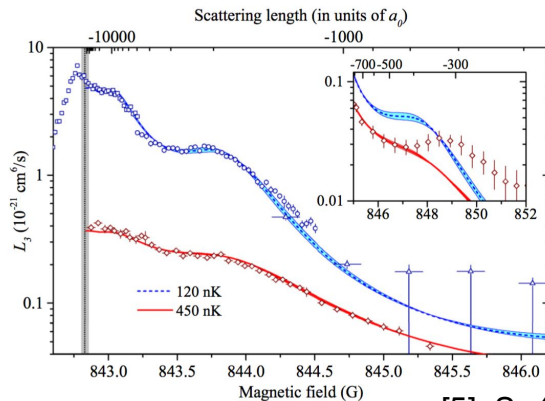
Magnetfeld

# Ultrakalte Atome: Li-Cs-Gemisch

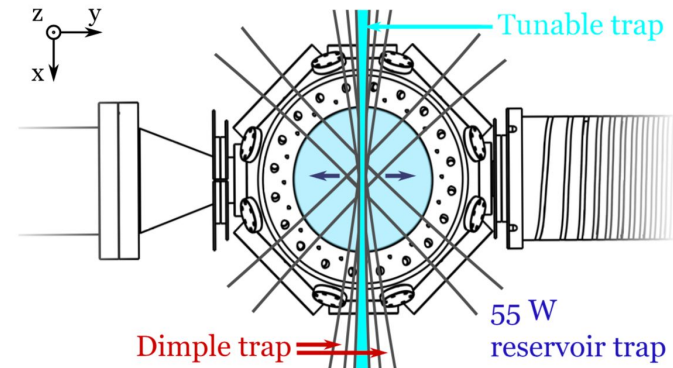
J. Ulmanis, S.Häffner, R. Pires, F. Werner, D.S. Petrov, E.D. Kuhnle und M. Weidmüller,  
Phys. Rev. A 93, 022707 (2016)

## Experimenteller Aufbau

- Optische Dipol-Falle
- Zwei getrennte Potentiale für  ${}^6\text{Li}$  und  ${}^{133}\text{Cs}$ , die überlagert werden
- Messungen bei 450 nK und 120 nK
- Anlegen eines externen Magnetfeldes zur Nutzung der Feshbach-Resonanz



[5], S. 4; Abb. 3

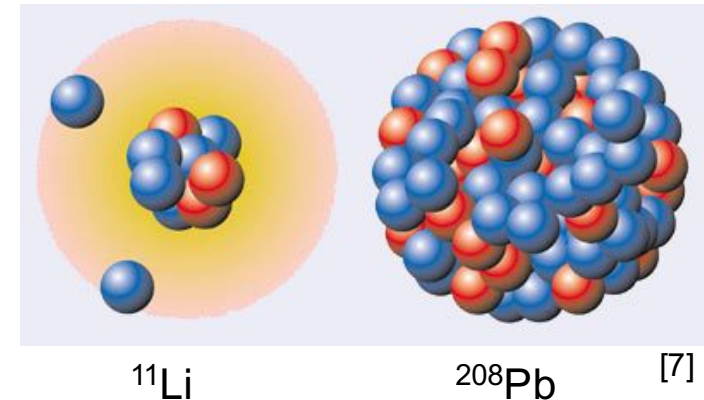


[6], S. 62, Abb. 3.6

## Ergebnisse:

- Bestimmung der 3-Körper-Rekombinationsrate aus Anzahl der Atome in der Falle
 
$$\dot{N}_{\text{Li}} = -\mathcal{L}_1^{\text{Li}} N_{\text{Li}} - \mathcal{L}_3 N_{\text{Li}} N_{\text{Cs}}^2, \quad \dot{N}_{\text{Cs}} = -\mathcal{L}_1^{\text{Cs}} N_{\text{Cs}} - 2\mathcal{L}_3 N_{\text{Li}} N_{\text{Cs}}^2 - \mathcal{L}_3^{\text{Cs}} N_{\text{Cs}}^3$$
- Fit mit theoretischer Ableitung
- Ergebnisse zeigen ersten und zweiten angeregten Efimov-Zustand bei  $\approx 843,8$  G ( $-1800a_0$ ) und  $\approx 843,0$  G ( $-9210a_0$ ), theoretischer Efimov-Grundzustand bei  $\approx 848,9$  G

- Bestehen aus stark gebundenem Kern umgeben von einem oder mehreren schwach gebundenen Valenznukleonen
- Zeigen universelle Eigenschaften unabhängig von der Struktur des Kerns
- Beispiele:
  - Deuteron: kleinster 2-Körper-Halo-Kern
  - 3-Körper-Halo-Kerne:  ${}^6\text{He}$ ,  ${}^{11}\text{Li}$  und  ${}^{22}\text{C}$



am meisten untersuchte Halos  
Zeigen universelle Eigenschaften  
Höhere Partialwellen-Anteile in  
den Bindungszuständen, daher  
keine Efimov-Zustände

S-Wellen-Bindungszustände der  
Valenz-Neutronen  
Daher Kandidat für Efimov-Zustände

↳ Alle genannten 3-Körper-Halos besitzen keine gebundenen 2-Körper-Subsysteme:  
“Borromäische” Halo-Kerne

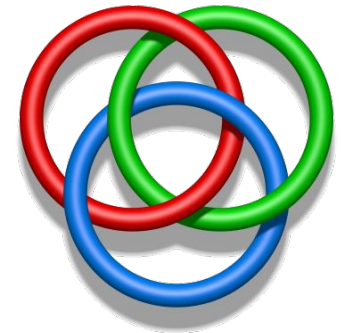
# Zusammenfassung

## ▪ Bedeutung von Universalität

- Universalitätsklasse: gleiches Verhalten trotz unterschiedlicher Systemdetails
- Betrachtung in der Kernphysik im Grenzfall niedriger Energie und großer Streulängen
- Zweikörper-Streuung nur von Streulänge abhängig, Dreikörper-Streuung mit zusätzlichem Parameter: Efimov-Effekt

## ▪ Theoretische Beschreibung:

- Hypersphärisches Modell:
  - Lösung der Schrödinger-Gleichung in hypersphärischen Koordinaten
  - Efimov-Spektrum mit diskreter Skalensymmetrie mit Konstante  $\lambda = e^{\pi/s_0} \approx 22,7$
- Effektive Feldtheorie
  - Feynman-Amplitude: Darstellung als Summe aus Feynman-Diagrammen
  - Reproduktion der universellen Eigenschaften in Dreikörper-Problem, weitere universelle Ableitungen aus dieser Theorie möglich



## ▪ Experimentelle Beispiele:

- Ultrakalte Gase:
  - Erster Nachweis eines Efimov-Zustandes in  $^{133}\text{Cs}$ , weitere Nachweise folgten
  - 2014 bzw. 2016 erstmals drei aufeinanderfolgende Efimov-Zustände in Li-Cs-Gemisch nachgewiesen
- Halo-Kerne:
  - Von Struktur der inneren Kerne unabhängige universelle Eigenschaften
  - Eventuelle Kandidaten für Efimov-Zustände

- (1) [https://de.wikipedia.org/wiki/Universalität\\_\(Physik\)](https://de.wikipedia.org/wiki/Universalität_(Physik)), 31.5.2016, 16:30
- (2) E. Braaten, H.-W. Hammer, Universality in few-body systems with large scattering length, Phys. Rep. 428 (2006) 259-390
- (3) H.W. Hammer, L. Platter, Efimov States in Nuclear and Particle Physics, Annu. Rev. Nucl. Part. Sci. 2010. 60:207-36
- (4) A. Marte, Feshbach-Resonanzen bei Stößen ultrakalter Rubidiumatome, Dissertation, TU München, 2003
- (5) J. Ulmanis et al, Universal three-body recombination and Efimov resonances in an ultracold Li-Cs mixture, Phys. Rev. A 93, 022707 (2016)
- (6) J. Ulmanis, Universality and non-universality in the heteronuclear Efimov scenario with large mass imbalance, Dissertation, Ruprecht-Karls-Universität Heidelberg, 2015
- (7) [http://images.iop.org/objects/ccr/cern/44/4/16/cernsup2\\_5-04.jpg](http://images.iop.org/objects/ccr/cern/44/4/16/cernsup2_5-04.jpg), 31.5.2016  
Cern Courier Mai 2004: „ISOLDE goes on the trail of superlatives“
- (8) S.-K. Tung et al, Geometric Scaling of Efimov States in a  ${}^6\text{Li}$ - ${}^{133}\text{Cs}$  Mixture, Phys. Rev. Lett. 113, 240402 (2014)